

УДК 539.374

ЛОКАЛЬНАЯ НЕУСТОЙЧИВОСТЬ ПЛАСТИН С ЗАПРЕССОВАННЫМИ КОЛЬЦЕВЫМИ ВКЛЮЧЕНИЯМИ ПРИ УПРУГОПЛАСТИЧЕСКОМ ПОВЕДЕНИИ МАТЕРИАЛОВ

Д. В. Гоцев, А. В. Ковалев, А. Н. Спорыхин

Воронежский государственный университет, 394693 Воронеж

В рамках точных трехмерных уравнений исследована локальная неустойчивость пластин с кольцевыми включениями. Численный эксперимент проводился для случая, когда в пластину запрессовано два кольца из того же материала, что и пластина. Исследовано влияние физико-механических параметров среды на критические контактные давления.

Как известно, исследование поведения предварительно напряженных составных конструкций сводится к постановке и решению задач локальной неустойчивости [1, 2] при упругопластических деформациях. В настоящей статье в точной постановке на основе трехмерной линеаризованной теории устойчивости [3] исследуется бифуркация состояния равновесия составной пластинчатой конструкции из упругопластического материала с трансляционным упрочнением. В этом случае функция нагружения имеет вид [4]

$$F = (S_s^j - c_\beta(\varepsilon_s^j)^p)(S_s^j - c_\beta(\varepsilon_s^j)^p) - k_\beta^2 = 0, \quad (1)$$

а соотношения ассоциированного закона течения —

$$(e_s^j)^p = \eta(S_s^j - c_\beta(\varepsilon_s^j)^p). \quad (2)$$

Здесь c_β — коэффициенты упрочнения; k_β — пределы текучести; $S_s^j = \sigma_s^j - \sigma\delta_s^j$ — девиатор тензора напряжений; $\sigma = \sigma_k^k/3$; δ_s^j — символ Кронекера; ε_s^j — компоненты тензора деформаций; e_s^j — компоненты тензора скоростей деформаций; η — положительный множитель. Индексы s, j принимают значения от 1 до 3. По повторяющимся индексам проводится суммирование.

Исследуем явление локальной неустойчивости в пластинчатой конструкции, состоящей из бесконечной пластины с круговым отверстием радиуса R_N , в которое с некоторым натягом помещена система из N колец, последовательно запрессованных одно в другое. К внутреннему контуру первого кольца приложена равномерно распределенная нагрузка q_0 . Предполагается, что пластина и включения выполнены из различных материалов. Из-за натягов на линиях сопряжения деталей возникают сжимающие усилия q_1, q_2, \dots, q_N . Величины q_i ($i = 1, 2, \dots, N$) таковы, что образовавшиеся пластические области полностью охватывают внутренние контуры колец. Бифуркацию состояния равновесия пластинчатой конструкции исследуем в рамках второго варианта теории малых докритических деформаций [5], принимая концепцию продолжающегося нагружения.

Определение напряженно-деформированного докритического состояния составной пластинчатой конструкции при плоской деформации сводится к решению двух связанных задач о концентрации напряжений. Первая задача сводится к определению напряженно-деформированного состояния в i -м кольце, вторая — к определению напряженно-деформированного состояния в пластине.

Докритическое напряженно-деформированное состояние, соответствующее i -му кольцу, в полярных координатах (r, θ) определено в виде [5]

$$\begin{aligned} (u_r)_i^p &= \frac{a_2^i}{r}, & (\varepsilon_r)_i^p &= -(\varepsilon_\theta)_i^p = -\frac{k_i r^2 + 2\sqrt{2} a_2^i}{r^2 \sqrt{2}(2 + c_i)}, \\ (\sigma_r)_i^p &= \frac{2c_i a_2^i}{2 + c_i} \left(\frac{1}{R_{i-1}^2} - \frac{1}{r^2} \right) + \frac{2\sqrt{2} k_i}{2 + c_i} \ln \frac{R_{i-1}}{r} - q_{i-1}, \\ (\sigma_\theta)_i^p &= \frac{2c_i a_2^i}{2 + c_i} \left(\frac{1}{R_{i-1}^2} + \frac{1}{r^2} \right) + \frac{2\sqrt{2} k_i}{2 + c_i} \left(\ln \frac{R_{i-1}}{r} - 1 \right) - q_{i-1} \end{aligned} \quad (3)$$

в пластической области при $R_{i-1} < r < \psi_i$ и в виде

$$(u_r)_i^e = b_1^i \left(\frac{r}{3} + \frac{1}{r} \right) - \frac{r q_i}{6}, \quad (\sigma_r)_i^e = 2b_1^i \left(1 - \frac{1}{r^2} \right) - q_i, \quad (\sigma_\theta)_i^e = 2b_1^i \left(1 + \frac{1}{r^2} \right) - q_i \quad (4)$$

в упругой области при $\psi_i < r < R_i$. В (3), (4)

$$b_1^i = -\frac{\psi_i^2 (3\sqrt{2} k_i + c_i q_i)}{2(6 - c_i \psi_i^2)}, \quad a_2^i = b_1^i \left(1 + \frac{\psi_i^2}{3} \right) - \frac{q_i \psi_i^2}{6}.$$

Уравнение для определения радиуса упругопластической границы ψ_i имеет вид

$$\begin{aligned} & \frac{c_i}{2 + c_i} \left(\frac{1}{\psi_i^2} + \frac{1}{R_{i-1}^2} \right) \frac{q_i \psi_i^2}{3} - \\ & - \frac{\psi_i^2 R_i^2 (3\sqrt{2} k_i + c_i q_i)}{6R_i^2 - c_i \psi_i^2} \left(\frac{1}{\psi_i^2} + \frac{1}{R_i^2} - \frac{c_i}{2 + c_i} \left(\frac{1}{\psi_i^2} + \frac{1}{R_{i-1}^2} \right) \left(\frac{\psi_i^2}{3R_i^2} + 1 \right) \right) + \\ & + \frac{2\sqrt{2} k_i}{2 + c_i} \left(\ln \frac{\psi_i}{R_{i-1}} + 1 \right) + q_{i-1} - q_i = 0. \end{aligned} \quad (5)$$

В равенствах (3)–(5) $i = 1, 2, 3, \dots, N$; N — количество колец; ψ_i — радиусы упругопластических границ; R_i — радиусы колец.

Докритическое напряженно-деформированное состояние в пластине в полярных координатах определено в виде [5]

$$\begin{aligned} u_r^p &= \frac{b_1}{r}, & \varepsilon_r^p &= -\varepsilon_\theta^p = -\frac{2\sqrt{2} b_1 - k r^2}{r^2 \sqrt{2}(2 + c)}, & \sigma_r^p &= \frac{2b_1 c}{2 + c} \left(1 - \frac{1}{r^2} \right) + \frac{2\sqrt{2} k}{2 + c} \ln r - q_N, \\ \sigma_\theta^p &= \frac{2b_1 c}{2 + c} \left(1 + \frac{1}{r^2} \right) + \frac{2\sqrt{2} k}{2 + c} (\ln r + 1) - q_N \end{aligned} \quad (6)$$

в пластической области при $R_N < r < \gamma$ и в виде

$$\sigma_r^e = -\sigma_\theta^e = -\frac{2b_1}{r^2} \quad (7)$$

в упругой области при $\gamma < r < \infty$.

Уравнение для определения радиуса упругопластической границы γ имеет вид

$$q_N - \frac{\sqrt{2} k}{2(2 + c)} (4 \ln \gamma + 2 + c \gamma^2) = 0. \quad (8)$$

В соотношениях (3), (4), (6) u_r — компонента вектора перемещения; c, k — коэффициент упрочнения и предел текучести для материала пластины.

Соотношения (3)–(8) записаны в безразмерном виде. Величины, имеющие размерность напряжений, отнесены к модулю сдвига G , имеющие размерность длины, — к внешнему радиусу первого кольца R_1 . Индексы e и p обозначают, что соответствующие величины относятся к упругой или пластической области.

Исследование устойчивости основного состояния (3)–(8) составной пластинчатой конструкции сводится к решению уравнений равновесия в вариациях для областей пластического и упругого деформирования при соответствующих граничных условиях. Уравнения равновесия имеют вид [5]

$$\nabla_s(\sigma_j^s + \sigma_\alpha^{0s}\nabla^\alpha u_j) = 0, \quad (9)$$

граничные условия —

$$N_s(\sigma_j^s + \sigma_\alpha^{0s}\nabla^\alpha u_j) = 0, \quad (10)$$

условия непрерывности напряжений и перемещений на поверхностях раздела зон упругого и пластического деформирования —

$$[N_s(\sigma_j^s + \sigma_\alpha^{0s}\nabla^\alpha u_j)]_\Sigma = 0, \quad [u_j]_\Sigma = 0. \quad (11)$$

Здесь квадратные скобки обозначают разность значений стоящих в них величин в зонах упругого и пластического деформирования; Σ — поверхность раздела зон упругого и пластического деформирования.

Зависимость между значениями амплитуд напряжений и перемещений для несжимаемой упругопластической модели среды в пластической и упругой областях можно представить в виде [5]

$$\sigma_j^s = (a_{s\alpha}g^{\alpha\alpha}\nabla_\alpha u_\alpha + \rho)g_j^s + (1 - g_j^s)g^{ss}G_j^s(\nabla_s u_j + \nabla_j u_s), \quad (12)$$

где ρ — множитель Лагранжа; g_j^s — компоненты метрического тензора (отсутствует суммирование по индексам s, j). Величины $a_{s\alpha}$ и G_j^s можно представить в виде

$$a_{s\alpha} = 2\mu g_{s\alpha} - \frac{4\mu^2\chi f_{ss}^0 f_{\alpha\alpha}^0}{k_\beta^2(2\mu + c_\beta)}, \quad G_j^s = \mu = G, \quad f_{sj}^0 = S_{sj}^0 - c_\beta \varepsilon_{sj}^{0p}. \quad (13)$$

Значение $\chi = 1$ соответствует упругопластической среде [4], $\chi = 0$ — упругой. Индекс 0 относится к величинам в докритическом состоянии.

Уравнения (9)–(13) с учетом условия несжимаемости представляют собой связанную краевую статическую задачу устойчивости относительно амплитуд компонент векторов перемещений u, v, w и гидростатического давления p соответственно для упругих и пластических зон запрессованных колец и пластины. Нетривиальное решение этой задачи соответствует потере устойчивости основного состояния. Для нахождения собственных значений задачи перемещения и гидростатическое давление в зонах упругого и пластического деформирования для колец и пластины аппроксимируем двойными тригонометрическими рядами [5]:

$$\begin{aligned} u &= \sum_n \sum_m A_{nm}(r) \cos(m\theta) \cos(nz), & v &= \sum_n \sum_m B_{nm}(r) \sin(m\theta) \cos(nz), \\ w &= \sum_n \sum_m C_{nm}(r) \cos(m\theta) \sin(nz), & p &= \sum_n \sum_m D_{nm}(r) \cos(m\theta) \cos(nz). \end{aligned} \quad (14)$$

Здесь n, m — параметры волнообразования.

Подставляя функции u, v, w, p в линеаризованные уравнения устойчивости (9) и учитывая (12), (13), а также условие несжимаемости, после ряда преобразований получим бесконечную систему дифференциальных уравнений относительно A_{nm} и B_{nm}

$$\begin{aligned} \xi_1 A(r) + \xi_2 A'(r) + \xi_3 A''(r) + \xi_4 B(r) + \xi_5 B'(r) + \xi_6 B''(r) + \xi_7 B'''(r) &= 0, \\ \xi_8 A(r) + \xi_9 A'(r) + \xi_{10} A''(r) + \xi_{11} A'''(r) + \xi_{12} B(r) + \xi_{13} B'(r) + \xi_{14} B''(r) &= 0, \end{aligned} \quad (15)$$

где

$$\begin{aligned} \xi_1 &= \sigma_\theta^0(1 - m^2) - m^2 - 2r\sigma_{\theta,r}^0 - n^2 r^2 + 1, & \xi_2 &= r^2 \sigma_{r,r}^0 - r(2\sigma_\theta^0 + 1 - \sigma_r^0), \\ \xi_3 &= r^2(1 - 2a_0 + \sigma_r^0), & \xi_4 &= (1 + \sigma_\theta^0) \left(\frac{1}{m} - m \right) - \frac{r\sigma_{\theta,r}^0(1 + m^2)}{m^3} - \frac{r^2 n^2}{m^3}, \\ \xi_5 &= r \left[(2a_0 - 1 - \sigma_\theta^0)m - \frac{1}{m}(1 + \sigma_\theta^0) \right] + \frac{r^3}{m}(\sigma_{r,rr}^0 - n^2) + \frac{r^2}{m} 2\sigma_{r,r}^0, \\ \xi_6 &= \frac{2r^2}{m}(\sigma_r^0 + \sigma_{r,r}^0 + 1), & \xi_7 &= \frac{r^3}{m}(\sigma_r^0 + 1), \\ \xi_8 &= nr^2(a_0 - 1 - 2\sigma_\theta^0) + \frac{m^2 r}{n}(1 + \sigma_\theta^0) - \frac{r}{n}(1 + \sigma_r^0 - r\sigma_{r,r}^0), \\ \xi_9 &= nr^3(1 - a_0) - \frac{m^2 r}{n}(1 + \sigma_\theta^0) - \frac{r}{n}(1 + \sigma_r^0 - r\sigma_{r,r}^0), & \xi_{10} &= \frac{r^2}{n}(2 + 2\sigma_r^0 + r\sigma_{r,r}^0), \\ \xi_{11} &= \frac{r^3}{n}(1 + \sigma_r^0), & \xi_{12} &= mn r^2 a_0 - \frac{n^3 r^2}{m} - \left(\frac{1}{m} + \frac{m^3}{nr^2} \right) (\sigma_\theta^0 + 1) + \frac{m}{nr^2}(1 + \sigma_r^0 - r\sigma_{r,r}^0), \\ \xi_{13} &= \frac{rm}{n}(\sigma_{r,r}^0 - \sigma_r^0 - 1) - \frac{r^3 n}{m}(1 + \sigma_r^0 + r\sigma_{r,r}^0), & \xi_{14} &= (1 + \sigma_r^0) \left(\frac{mr^2}{n} + \frac{r^4 n}{m} \right). \end{aligned}$$

В (15) и далее индекс nm у величин A, B опущен.

Используя соотношения (11), (13), запишем условия непрерывности возмущений компонент вектора перемещений на внутреннем контуре первого кольца при $r = R_0$:

$$\begin{aligned} A_1^p \left\{ \frac{2}{R_0} [a_0 - (\sigma_\theta^0)_1^p - 1] \right\} + (A')_1^p [2 - 2a_0 + (\sigma_r^0)_1^p] + \\ + B_1^p \left\{ \frac{1}{R_0} \left[ma_0 - \frac{1}{m}(1 + (\sigma_\theta^0)_1^p) + m^2((\sigma_\theta^0)_1^p + 1 - a_0) \right] - \frac{n^2 R_0}{m} \right\} + \\ + (B')_1^p \frac{1}{m} [1 + (\sigma_r^0)_1^p + R_0(\sigma_{\theta,r}^0)_1^p] + (B'')_1^p \frac{R_0}{m} [1 + (\sigma_r^0)_1^p] = 0, \quad (16) \\ mA_1^p + B_1^p - R_0(B')_1^p [1 + (\sigma_r^0)_1^p] = 0, \\ A_1^p \left[n - \frac{1 + (\sigma_r^0)_1^p}{nR_0^2} \right] + \frac{1 + (\sigma_r^0)_1^p}{nR_0} \left[(A')_1^p - \frac{m}{R_0} B_1^p + m(B')_1^p + R_0(A'')_1^p \right] = 0 \end{aligned}$$

и на границе ψ_i ($i = 1, 2, \dots, N$) упругой и пластической зон включений:

$$\begin{aligned} A_i^p \frac{1}{\psi_i} - (A')_i^p + B_i^p \frac{m}{\psi_i} + (B')_i^p \left\{ \frac{\psi_i}{2ma_0} [(\sigma_{r,r}^0)_i^p - (\sigma_{r,r}^0)_i^e] \right\} + \frac{\psi_i}{2ma_0} [(\sigma_r^0)_i^e + 1] [(B'')_i^p - (B'')_i^e] = 0, \\ (A'')_i^p - (A'')_i^e = 0. \end{aligned} \quad (17)$$

На границе раздела γ упругой и пластической областей пластины имеют место условия, аналогичные (17).

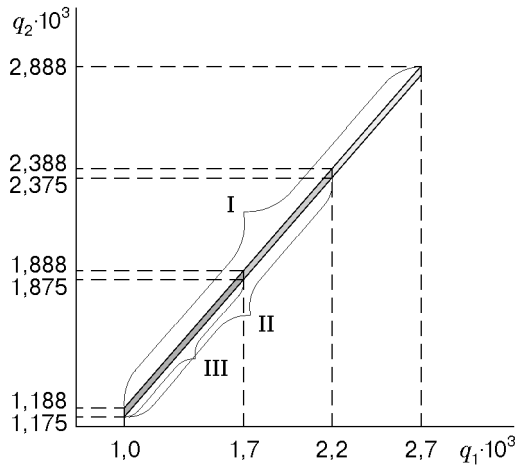


Рис. 1

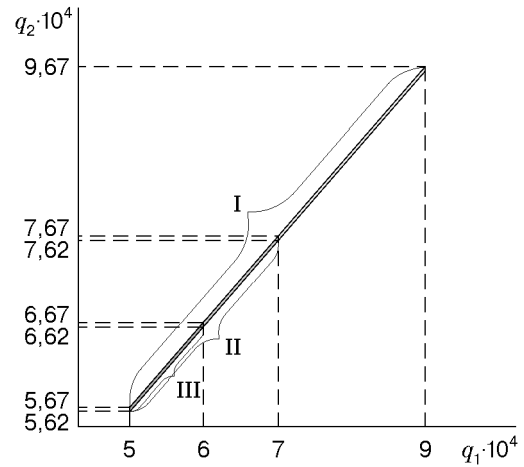


Рис. 2

На границе запрессованных i -го и $(i + 1)$ -го колец согласно (10) имеют место соотношения

$$A_{i+1}^p - (A')_{i+1}^p + \frac{m}{R_i} B_{i+1}^p + (B')_{i+1}^p \left\{ \frac{R_i}{2ma_0} [(\sigma_{r,r}^0)_i^p - (\sigma_{r,r}^0)_i^e] \right\} +$$

$$+ \frac{R_i}{2ma_0} [(\sigma_{r,r}^0)_i^e + 1][(B'')_{i+1}^p - (B'')_i^e] = 0, \quad (18)$$

$$(A'')_{i+1}^p - (A'')_i^e = 0 \quad (i = 1, 2, \dots, N).$$

Из условия локальности возмущений $u_j \rightarrow 0$ при $r \rightarrow \infty$ ($j = 1, 2, 3$) следует

$$(A')^e = 0, \quad (A'')^e = 0, \quad (B')^e = 0, \quad (B'')^e = 0. \quad (19)$$

Найти точное аналитическое решение краевой задачи (15)–(19) не представляется возможным, поэтому будем искать ее приближенное решение методом конечных разностей [6]. В результате получаем бесконечную систему однородных алгебраических уравнений, линейных относительно параметров A_{nm} и B_{nm} , решать которую необходимо с учетом уравнений, определяющих упругопластические границы колец (5) и пластины (8). Локальной потере устойчивости соответствуют значения A_{nm} и B_{nm} , отличные от нуля. Минимизация q_i должна производиться по шагу разностной сетки h , параметрам волнообразования по контуру m и образующей n , параметрам материала и конструкции λ_j .

Таким образом, получаем задачу многомерной оптимизации величин q_i ($i = 1, 2, \dots, N$) в зависимости от m, n из условия равенства нулю определителя полученной алгебраической системы: $\det(q_i, m, n, \lambda_j) = 0$.

Численный эксперимент проводился для случая, когда в пластину запрессовано два кольца ($N = 2$) из того же материала, что и пластина. В качестве материала использовались сталь Ст. 3 ($c = 0,002, k = 0,0014, G = 0,81 \cdot 10^6$ кг/см²) и медь ($c = 0,006, k = 0,0005, G = 0,81 \cdot 10^6$ кг/см²).

На рис. 1 показаны области критических значений параметров контактных давлений q_1, q_2 при $n = m = 3$ в предположении $q_0 = 0$ на внутреннем контуре первого кольца из Ст. 3. Область I соответствует $R_0 = 0,002; R_2 = 1,1$ и включает область II ($R_0 = 0,007; R_2 = 1,1$), которая, в свою очередь, содержит область III ($R_0 = 0,02; R_2 = 1,1$).

На рис. 2 показаны области критических значений параметров контактных давлений q_1, q_2 при $n = m = 4$ в предположении $q_0 = 0$ на внутреннем контуре первого кольца из меди. Область I соответствует $R_0 = 0,002; R_2 = 1,1$ и включает область II ($R_0 = 0,007; R_2 = 1,1$), которая, в свою очередь, содержит область III ($R_0 = 0,02; R_2 = 1,1$).

Из анализа результатов численного расчета следует:

- при увеличении ширины внутреннего кольца область критических значений параметров q_1 , q_2 увеличивается;
- при уменьшении значений физико-механических характеристик c , k область критических значений параметров q_1 , q_2 уменьшается;
- при одночленной аппроксимации параметров перемещений значения критических параметров q_1 , q_2 оказываются завышенными.

Локальная потеря устойчивости в пластине с включениями для материала Ст. 3 происходит по несимметричной форме с первоначальным образованием трех полуволн в направлении оси θ и стольких же полуволн в перпендикулярном направлении z . Для меди локальная потеря устойчивости происходит при $m = n = 4$. При $R_2 = R_1$ получим значения критической нагрузки q_1 для пластины с одним кольцевым включением.

ЛИТЕРАТУРА

1. Спорыхин А. Н., Чиканова Н. Н. К локальной неустойчивости пластины с включением // Прикл. механика. 1991. Т. 27, № 8. С. 106–110.
2. Спорыхин А. Н., Чиканова Н. Н. Локальная неустойчивость составных упругопластических конструкций // Механика композит. материалов. 1995. Вып. 31, № 2. С. 248–260.
3. Гузь А. Н. Основы трехмерной теории устойчивости деформируемых тел. Киев: Вища шк., 1986.
4. Ишлинский А. Ю. Общая теория пластичности с линейным упрочнением // Укр. мат. журн. 1954. Вып. 6, № 3. С. 36–43.
5. Спорыхин А. Н. Метод возмущений в задачах устойчивости сложных сред. Воронеж: Изд-во Воронеж. гос. ун-та, 1997.
6. Корнишин М. С. Нелинейные задачи теории пластин и пологих оболочек и методы их решения. М.: Наука, 1964.

Поступила в редакцию 19/VI 2000 г.